

10;12

## РЕГИСТРАЦИЯ ВЗАИМОДЕЙСТВИЙ НЕЙТРИНО ПРИ ОТСУТСТВИИ НЕПОСРЕДСТВЕННОЙ СИНХРОНИЗАЦИИ ОТ УСКОРИТЕЛЯ У-70

© А.Г.Афонин,<sup>1</sup> П.С.Васильев,<sup>2</sup> Е.П.Кузнецов,<sup>2</sup> Б.Н.Ломоносов,<sup>2</sup>  
А.В.Минченко,<sup>1</sup> Л.С.Первов,<sup>2</sup> В.А.Рябов,<sup>2</sup> Ю.С.Черноусько<sup>1</sup>

<sup>1</sup>Институт физики высоких энергий,  
Протвино, Московская область, Россия

<sup>2</sup>Физический институт им. П.Н. Лебедева РАН,  
117924 Москва, Россия

(Поступило в Редакцию 30 января 1995 г.

В окончательной редакции 9 октября 1995 г.)

Приведены результаты экспериментов по обнаружению взаимодействий нейтринного пучка ускорителя У-70 с помощью автоматизированной физической установки при отсутствии непосредственной синхронизации от системы вывода пучка ускорителя. Приведена методика определения временного положения пучка и его временной разброс, измерена интенсивность регистрации нейтринных взаимодействий и фона космического излучения, проведена оценка порога обнаружения по измеренному соотношению сигнал-шум.

### Введение

В проекте “Байкал” [1] при исследовании осцилляций нейтрин и поиске тяжелых нейтрин необходимо решить задачу синхронизации физической установки, удаленной от ускорительно-накопительного комплекса (УНК) на расстояние свыше 4 тыс.км, с целью надежного отделения нейтринных взаимодействий пучка ускорителя от фона. Интенсивность фоновых событий в этом случае значительно выше, чем при непосредственной работе на ускорителе. Это связано со значительно большими геометрическими размерами детектора черенковского излучения ( $1.94E + 6 \text{ м}^3$ ), который регистрирует не только космические мюоны, но и биофон, радиоактивные вещества, присутствующие в водах озера Байкал. При возрастании фона до уровня, соизмеримого с интенсивностью полезных событий, наиболее эффективным методом борьбы с фоном является временное стробирование полезного сигнала.

Естественно, возникает необходимость создания автономной системы синхронизации, которая каким-то образом стробировала бы временное положение пучка. В работе [2] предложен принцип решения такой проблемы. Его суть заключается в создании двух синфазно работающих синхронизаторов с высокой стабильностью, один из которых управляет моментом сброса пучка в нейтринный канал, а второй вырабатывает стробирующие сигналы для детектора. Не рассматривая проблему начальной синхронизации этих двух синхронизаторов (как вариант это могла бы быть начальная присинхронизация автономно работающего синхронизатора детектора с последующей его транспортировкой к месту назначения), остановимся на вопросах, требующих своего решения. При решении задачи обнаружения необходимо будет учесть, что с целью создания управляемого сброса пучка ускорителя необходимо будет осуществить перепривязку момента сброса пучка к высокостабильной опорной частоте синхронизатора на основе атомных стандартов частоты. При этом период опорной частоты должен быть во много раз меньше цикла ускорителя и составлять несколько десятков Гц (30–50 Гц), чтобы выполнить условие попадания на начало "полочки" магнитного поля (У-70: цикл равен 8 с, длительность "полочки" 2 с, начальный участок "полочки" не более 60 мс). Это обстоятельство приводит к значительному усложнению задачи обнаружения из-за неопределенности периода опорной частоты, в котором произошел сброс пучка ускорителя.

### Цель и условия проведения эксперимента

С целью отработки методики обнаружения и апробации принятых технических решений был проведен ряд экспериментов по обнаружению нейтрино на ускорителе У-70. Эксперименты проводились на нейтринном пучке со средней интенсивностью  $2.0E + 12$  протонов на мишень за сброс. Структура пучка состояла из 10 бандей с периодом следования 166 нс и длительностью сброса 1.6 мкс. Система быстрого вывода протонного пучка ускорителя У-70 в нейтринный канал состоит обычно из 30 бандей длительностью 30 нс с интервалом 166 нс между бандами. Это позволяет достигнуть максимальной в настоящее время интенсивности протонного пучка, сброшенного на нейтринную мишень, —  $1.6 \cdot 10^{13}$  протонов на сброс (время сброса 5 мкс) [3]. Техническое обеспечение эксперимента осуществляла автоматизированная установка [2]. На рис. 1 приведена блок-схема эксперимента. Аппаратура управления пучком была установлена в помещении пульта системы быстрого вывода и подключена к стойке SHOT. Сигнал вывода 2 со стойки SHOT запускает синхронизатор, который осуществляет привязку к опорной частоте  $T_0$  и задерживает относительно нее на время, кратное 50 мкс, в соответствии с установленной программой управления пучком. Сигнал 3 с целью исключения влияния на других потребителей нейтринного пучка задерживается на 500 мкс (два последовательно включенных генератора Г5-48) и далее запускает ВЧ серию системы вывода [4]. Ориентировочно с учетом задержки системы вывода ускорителя (166 мкс) положение пучка относительно  $T_0$  должно запаздывать на величину 600 мкс.

Аппаратура обнаружения нейтрино была расположена на гибридном спектрометре СКИФ, эксперимент  $E-128$  [5]. Сцинтилляционные

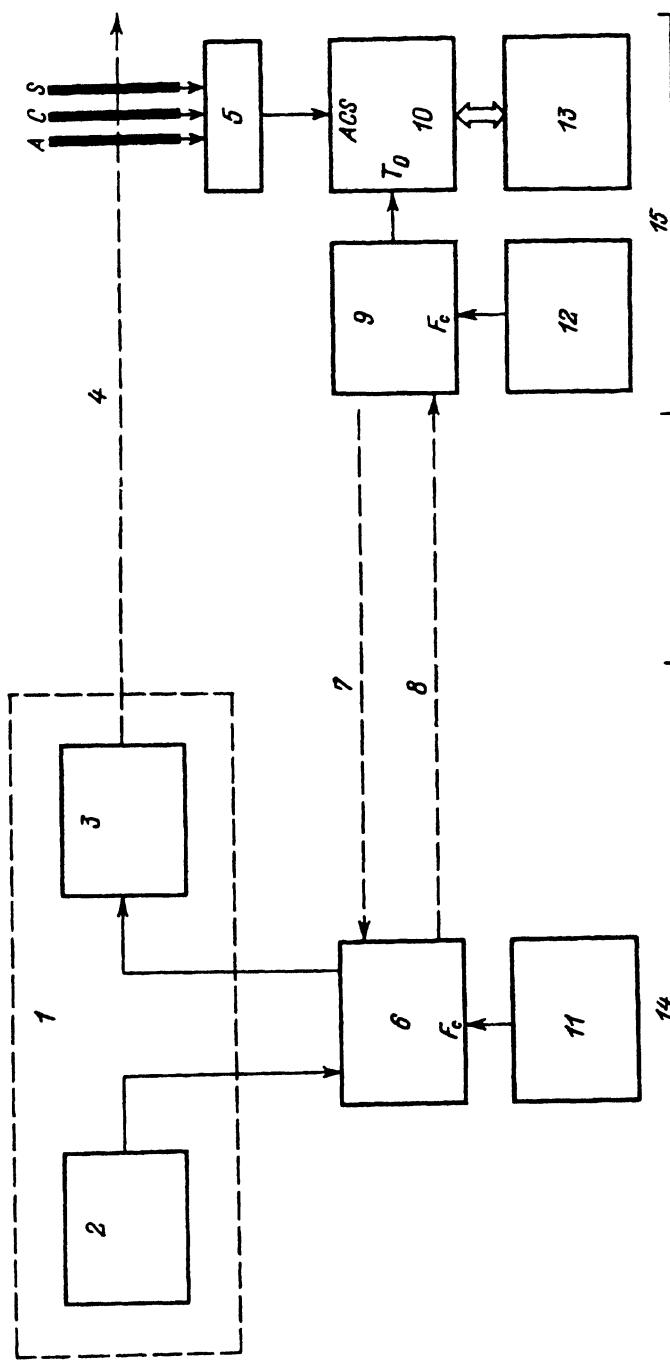


Рис. 1. Блок-схема эксперимента.

1 — синхронизатор У-70; 2 — Т-серия; 3 — В-серия; 4 — пучок; 5 — схема совпадений; 6, 9 — блоки синхронизации; 7 — старт; 8 — готовность; 10 — стандарт частоты (сапфир); 11, 12 — аппаратура обнаружения нейтрино; 13 — компьютер IBM PC/XT; 14 — аппаратура синхронизации системы вывода; 15 — аппаратура обнаружения нейтрино.

счетчики спектрометра использовались в качестве детектора для обнаружителя нейтрино. Здесь же в помещении СКИФ были установлены синхронизатор обнаружителя и обнаружитель на базе компьютера IBM PC/XT.

Начальный запуск системы был осуществлен подачей сигнала "старт" по коаксиальному ВЧ кабелю на синхронизатор управления пучком. Задержка распространения не превышала 5 мкс. В результате этого импульса опорной частоты  $T_0$  синхронизатора управления пучком отставал от импульса опорной частоты  $T_0$  синхронизатора обнаружителя. Высокостабильные синхронизаторы ( $\gamma = 1.0E - 12$ ) находились в состоянии взаимной синхронизации в течение всего эксперимента и на точность измерений практически не влияли.

Обнаружитель осуществлял измерение временных интервалов регистрируемых событий относительно  $T_0$  одним из 4 измерителей обнаружителя  $tacs1$ ,  $tacs2$ ,  $tacs3$  и  $tacs4$  с дискретом 1 мкс. Кроме того, фиксировался условный номер  $T_0 - nT_0$ , в котором произошло хотя бы одно событие. Счет  $T_0$  начинался от начала включения программы обнаружителя.

Измеренные данные записывались в файл, который состоял из записей

2 байта	2 байта	2 байта	2 байта	8 байт
$tacs1$	$tacs2$	$tacs3$	$tacs4$	$nT_0$ .

Эксперимент осуществлялся в следующей последовательности.

1) Перед началом работы два синхронизатора были приведены в состояние взаимной синхронизации.

2) Включалась одна из 15 программ управления пучком, которая осуществляла временную задержку сброса пучка относительно  $T_0$ . Точность установки программных задержек не хуже  $\pm 100$  нс.

3) По программе din 1001 в on-line осуществлялась регистрация событий и фона в одном из режимов работы обнаружителя — со стробированием или без стробирования.

В режиме без стробирования регистрировались все события на интервале ( $T_0$ ,  $T_0 + 13000$  мкс); в режиме со стробированием регистрировались только те события, которые попали в интервал стробирования. Временное положение строба относительно  $T_0$  и его длительность задавались экспериментатором в диалоговом режиме компьютера перед началом регистрации.

4) Статистическая обработка результатов осуществлялась в режиме off-line, и это на данном этапе работ по обнаружению нейтриноных взаимодействий позволило применить разнообразные алгоритмы обработки, исключив зависимость дорогостоящих экспериментальных данных от быстродействия компьютера. Кроме того, наличие полученных файлов данных поможет в будущем при моделировании и проверке новых идей.

### Измерение временного положения пучка

Целью измерения временного положения пучка является определение среднего значения  $T$  и его разброса. Вначале был осуществлен следующий эксперимент: обнаружитель работал в режиме обнаружения без стробирования, регистрируя все события на всем интервале

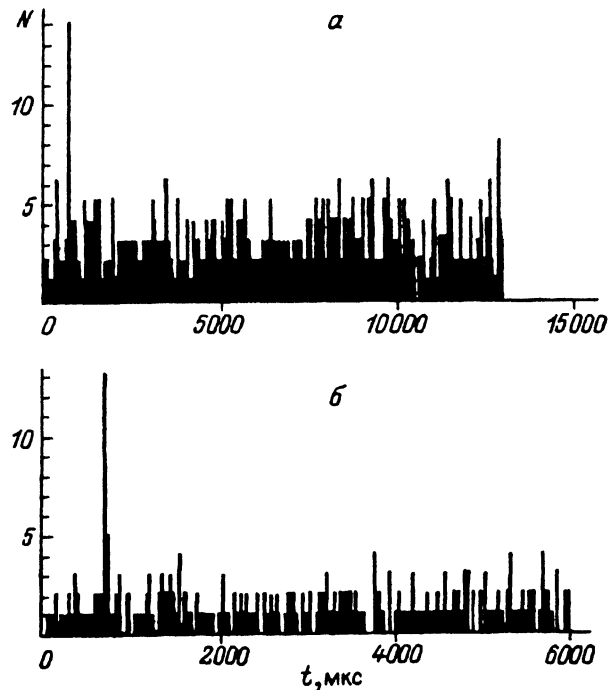


Рис. 2. Гистограмма  $N = f(t)$ , файл *nu* 3000.  
 $\tau_b = 50$  (а), 20 мкс (б);  $N_{\max} = 14$  (а), 13 (б);  $T_{\max} = 700$  (а), 720 мкс (б).

обнаружения ( $T_0$ ,  $T_0 + 13000$  мкс) при управлении пучком ускорителя по программе 1. Величина программной задержки равнялась 50 мкс. За время измерений  $21283 \cdot T_0$  было зарегистрировано от детектора 674 события, являющихся суммой полезных событий  $N_a$  и фоновых  $N_f$ . Программой din 1001 строились графические распределения  $N = f(t)$  путем отображения числа событий, попавших на интервалы временных выборок, и одновременно осуществлялся поиск интервала  $T_{\max}$  с максимальным числом событий  $N_{\max}$ .

На рис. 2 и 3 показаны результаты обработки файла *nu* 3000, dat при интервалах выборок 50, 20 и 1 мкс. Из графического распределения рис. 3 можно определить  $T_{\max}$ , равное 736 мкс. Зная величину вносимой программной задержки  $T_3 = 50$  мкс, можно определить ориентировочно величину задержки, вносимую ускорителем  $T_y = T_{\max} - T_3 = 686$  мкс. Более точное измерение временного положения пучка осуществлялось при большей статистике измерений в режиме регистрации со строби-

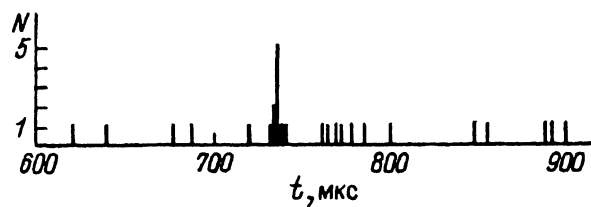


Рис. 3. Гистограмма  $N = f(t)$  при  $\tau_b = 1$  мкс, файл *nu* 3000 ( $N_{\max} = 5$ ,  $T_{\max} = 736$  мкс).

рованием и путем расчета  $T_{\pi}$  и  $\sigma_{\pi}$  по формулам

$$T_{\pi} = \frac{\sum_i N_i t_i}{\sum_i N_i}, \quad (1)$$

$$\sigma_{\pi} = \sqrt{\frac{\sum_i (t_i - T_{\pi})^2}{\sum_i (N_i - 1)}}, \quad (2)$$

$$\sigma'_{\pi} = \sqrt{\frac{\sum_i (t_i - T_{\pi})^2}{\sum_i N_i (\sum_i (N_i - 1))}}. \quad (3)$$

При включенной программе 5 (номер интервала 120;  $T_3 = 6000$  мкс) проводилась регистрация в режиме обнаружения со стробированием, при этом строб достаточно симметрично накрывал предполагаемое нахождение пучка  $T_{\pi}$

$$T_{\pi} = T_y + T_e = 686 + 6000 = 6686 \text{ мкс.}$$

При длительности строба  $\tau_c = 100$  мкс задержка строба равнялась  $T_c = 6635$  мкс.

Результаты статистической обработки программой wbeam, exe приведены в табл. 1.

Зная временную флюктуацию пучка  $\sigma_{\pi}$ , можно предположить алгоритм поиска положения пучка по методу "скользящего окна". Суть метода: выбирается окно длительностью  $T_w > 2\sigma_{\pi}\alpha$  ( $\alpha$  — коэффициент, зависящий от доверительной вероятности; при  $P(\alpha) = 0.997$   $\alpha = 3$ ) и на интервале обнаружения осуществляется сканирование этим стробирующим окном, т. е. строб смещается шагом на 1 дискрет измерений  $\Delta$  от начала обнаружения до конца обнаружения.

Количество циклов сканирования можно оценить по формуле

$$N_{\text{скан}} = (t_k - t_n)/\Delta \quad (4)$$

где  $t_n$  и  $t_k$  — начало и конец интервала обнаружения.

При каждом положении окна измеряется количество попавших в него событий  $N_w$ . Путем поиска максимальной величины  $(N_w)_{\max}$  определяется соответствующее положение окна. Окончательное положение пучка определяется путем статистической обработки всех событий,

Таблица 1. Статистическая обработка программой wbeam, exe

Параметры строба, мкс		Положение пучка, мкс			Число событий
задержка	длительность	$T_{\pi}$	$\sigma'_{\pi}$	$\sigma_{\pi}$	
6665	40	6684.90	0.52	3.42	43
6675	20	6684.36	0.31	2.02	41
6680	10	6684.60	0.21	1.37	40

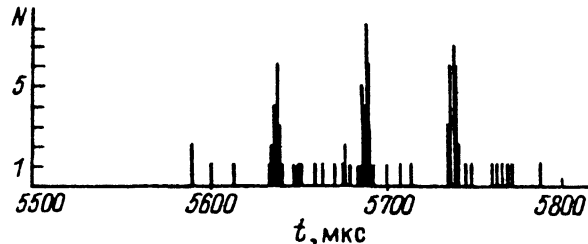


Рис. 4. Гистограмма  $N = f(t)$  при  $\tau_b = 1$  мкс, файл *nu* 3003.

Таблица 2. Обработка по алгоритму скользящего окна

Файл	Интервал обнаружения, мкс		Метод скользящего окна, мкс				Метод максимума, мкс		
	$t_u$	$t_k$	$T_w$ , мкс	$T_p$	$\sigma'_p$	$\sigma_p$	$N_w$	$T_{max}$	$N_{max}$
<i>nu</i> 3000	100	8000	20	734.1	1.29	4.68	13	736	5
<i>nu</i> 3101	600	3000	11	733.8	0.68	2.04	9	735	3
<i>nu</i> 3102	6665	6705	13	6684.3	0.31	2.02	41	6685	13
<i>nu</i> 3102	6665	6705	11	6684.6	0.21	1.37	40	6685	13
<i>nu</i> 3102	6665	6705	7	6684.6	0.21	1.37	40	6685	13

зарегистрированных в данном окне по формулам 1–3. В программе *wbeam*, *exe* реализован алгоритм скользящего окна и поиск максимума в распределении  $N = f(t)$ . Результаты обработки по данному алгоритму приведены в табл. 2.

В заключение данного раздела с целью наглядной демонстрации о возможности регистрации нейтринных взаимодействий предложенным способом приведем распределение  $N = f(t)$ , полученное при управлении пучком программой 14 (номера интервалов 99, 100, 101; величины задержки 4950, 5000, 5050 мкс; чередование интервалов 99–100–101–99). На рис. 4 приведено данное распределение, где отчетливо видны три максимума, отстоящие друг от друга на 50 мкс.

### Измерение интенсивности событий

Подробное описание электронных блоков синхронизации и обнаружителя взаимодействия нейтрино представлено в [2].

Ускоритель является импульсным источником: он испускает частицы в течение времени сброса (в данном эксперименте длительность сброса составляла 1.6 мкс); циклы излучений повторяются с периодом  $T_a = 8$  с. Кроме того, в данном эксперименте момент сброса ускорителя привязан к опорной частоте с периодом  $T_o = 50$  мс. Допустим, что обнаружитель регистрирует число событий в интервале строба  $\tau_c$  при условии, что строб накрывает положение пучка. Тогда за время наблюдений  $\tau_o$  могло быть зарегистрировано  $N_c$  событий, состоящих из некоторого числа фоновых событий  $N_\phi$  и полезных событий  $N_a$ , рожденных пучком ускорителя,

$$N_c = N_a + N_\phi.$$

Число фоновых событий  $N_\phi$  за время измерений  $t_u = (\tau_o/T_o)\tau_c$  равно  $N_\phi = (\tau_o/T_o)\tau_c n_\phi$ . Число событий от ускорителя можно оценить из следующего соотношения:

$$N_a = \frac{\tau_o}{T_a} E_f,$$

где  $E_f < 1$  — некий постоянный для данных условий (интенсивность пучка, положение мишени, характеристики детектора и т. д.) коэффициент, характеризующий эффективность регистрации детектором и равный отношению числа зарегистрированных событий к числу сбросов ускорителя.

При хорошей статистике интенсивность регистрируемых событий  $n_c$  может быть вычислена по формуле

$$n_c = \frac{N_c}{t_u} = \frac{T_o}{T_a} \frac{E_f}{\tau_c} + n_\phi. \quad (5)$$

### Обнаружение нейтрино методом пороговой обработки

Для обнаружения положения пучка на удаленной физической установке возможно использование разнообразных методов статистической обработки (критерии значимости и максимального правдоподобия, порогового обнаружения, рассмотренный выше алгоритм "скользящего окна" и др.). Как наиболее простой в данной работе был испробован метод пороговой обработки. Условием его применения являются предварительно измеренные следующие параметры: средняя интенсивность фона  $n_\phi$ ; интенсивность регистрации полезных событий от ускорителя  $n_c$ ; начальное временное положение пучка относительно периода опорной частоты  $T_y$ , фактически в эту задержку  $T_y$  входит как собственная задержка ускорителя, так и задержка пролета нейтрино от ускорителя до физической установки; априорное соглашение — пучок может смещаться относительно начального положения  $T_y$  на величину, кратную  $T_d$ ,

$$T_n = T_y + T_d \cdot i, \quad (6)$$

где  $T_d$  — шаг смещения, который много больше величины разброса пучка  $T_d \gg \sigma_n$ ;  $i$  — коэффициент смещения  $1, 2, 3, \dots m$ .

С целью проверки метода пороговой обработки на ускорителе У-70 был впервые проведен следующий эксперимент: с пульта управления системы быстрого вывода последовательно включались программы управления пучком 1-3-1-6-1-2-1, которым соответствовали интервалы  $1 = 1.30, 1.150, 1, 2, 1$ ; продолжительность интервалов измерения была неравномерная и колебалась от 25 до 110 мин; параметры управления пучком  $T_d = 50$  мкс,  $m = 255$ ,  $T_u = 685$  мкс.

В табл. 3 приведены результаты обнаружения при различных порогах  $N_o$  и длительности строба  $\tau_c$ : номер обнаруженного интервала  $i$ , в котором количество накопленных событий превысило установленный порог; момент обнаружения  $T_{обн}$ ; количество событий, зарегистрированных в обнаруженном интервале  $N_{max}$ , и максимальный уровень фона в остальных интервалах  $N_{фон}$ .

**Таблица 3. Результаты обнаружения нейтринных взаимодействий при различных порогах**

Номер серии	$\tau_c$ , мкс	Порог	$i_0$	$T_{\text{обн}}$ , с	$N_{\max}$	$N_{\text{фон}}$	Результаты обнаружения
1	40	14	1	1122	22	10	Ложное обнаружение $i = 53$
			30	2759	20	11	
			1	5041	22	12	
			150	6831	26	7	
			1	8102	41	8	
			2	9472	65	12	
			53*	12261	15	5	
			1	12994	15	3	
		15	1	1138	23	11	Правильное обнаружение
			30	2933	19	12	
			1	5417	21	8	
			150	6860	26	7	
			1	8143	41	8	
2	20	8	2	9482	65	14	Ложное обнаружение $i = 29$
			1	12550	26	5	
			1	881	20	6	
			30	2644	16	6	
			1	4892	17	7	
			150	6619	22	5	
			1	7812	36	6	
			2	9385	55	7	
		9	29*	12215	8	4	Правильное обнаружение
			1	12695	15	3	
			1	905	20	6	
			30	2672	17	6	
			1	4945	17	6	
			150	6638	22	5	
			1	7780	36	5	
3	12	7	2	9414	55	8	Ложное обнаружение $i = 152$
			1	12492	21	3	
			1	823	20	5	
			30	2644	14	4	
			1	4892	15	4	
			152*	6188	7	2	
			150	6619	21	4	
		8	1	7784	33	4	Правильное обнаружение
			2	9366	54	6	
			1	12424	20	3	
			1	881	20	5	
			30	2672	15	4	
			1	4945	15	6	
			150	6638	21	4	
			1	7812	33	4	
			2	9385	54	6	
			1	12492	20	3	

## Выводы

По результатам проведенных экспериментов можно сделать основные выводы.

1. Экспериментально доказана возможность обнаружения нейтринных взаимодействий от нейтринного пучка ускорителя удаленной физической установкой в отсутствие кабельной синхронизации, т.е. предложенный метод создания синхронизированных пучков ускорителя подтвердился.

2. Впервые на физической установке с собственным автономным синхронизатором были получены следующие результаты: измерено временное положение пучка  $T_n$  и его временной разброс  $\sigma_n$ ; при "хорошой" статистике ( $N_c = 40$ ) было получено среднее значение положения пучка относительно опорной частоты  $T_n = 6684.6 \pm 0.21$  мкс со среднеквадратичным отклонением  $\sigma_n = 1.37$  мкс (табл. 2); получено практическое подтверждение метода обнаружения по алгоритму "скользящего окна" в достаточно широком интервале поиска (табл. 2); экспериментально измерены интенсивность фона  $n_f$  и интенсивность ускорителя  $n_c$ ; приведена зависимость интенсивности ускорителя от длительности строба  $n_c = f(\tau_c)$ ; приведены некоторые соображения по качественной картине порогового обнаружения и оценке порога обнаружения; осуществлен эксперимент по управлению моментом сброса пучка путем задания чередующейся последовательности временных интервалов с возвратом к  $i$ -му интервалу; успешно проведена серия порогового обнаружения при различной длительности интервалов обнаружения.

Благодаря выбранным техническим решениям была проверена идея программно-управляемого сброса пучка и впервые на этой установке осуществлена регистрация равновесных мюонов от взаимодействий нейтрино с сцинтилляционным телескопом (установка Е-128) в отсутствие кабельной связи с системой вывода, которая обычно используется при синхронизации детектора с моментом быстрого вывода протонного пучка в нейтринный канал.

## Список литературы

- [1] Сотрудничество Москва–Серпухов–Иркутск. Препринт ФИАН. № 87. М., 1989.
  - [2] Васильев П.С., Котельников С.К., Кузнецов Е.П. и др. Препринт ФИАН. № 151. М., 1990.
  - [3] Черный С.А. Препринт ИФВЭ. № 89-196. Протвино, 1989.
  - [4] Комаров В.В., Черноусько Ю.С. Препринт ИФВЭ. № 80-77. Серпухов, 1980.
  - [5] Алешин Ю.Д., Аммосов В.В., Баранов В.И. и др. Препринт ФИАН. № 10. М., 1989.
-